

Práctica de Laboratorio 7: Sistemas de seguimiento

— Control integral en el espacio de estados

Elías Álvarez

Carrera de Ing. Electrónica

Universidad Católica Nuestra Señora de la Asunción

Asunción, Paraguay

Email: elias.alvarez@universidadcatolica.edu.py

Docente: Lic. Montserrat González

Facultad de Ingeniería

Universidad Católica Nuestra Señora de la Asunción

Asunción, Paraguay

Tania Romero

Carrera de Ing. Electrónica

Universidad Católica Nuestra Señora de la Asunción

Asunción, Paraguay

Email: tania.romero@universidadcatolica.edu.py

Docente: PhD. Enrique Vargas

Facultad de Ingeniería

Universidad Católica Nuestra Señora de la Asunción

Asunción, Paraguay

I. INTRODUCCIÓN

En el laboratorio anterior se trabajó con un sistema en lazo abierto, donde no existía corrección automática ante perturbaciones ni derivas en los componentes. Esto hacía al sistema más sensible y dependiente de la exactitud del modelo.

En esta práctica se implementa un esquema en **lazo cerrado** mediante realimentación de estados, incorporando además una **acción integral** para asegurar seguimiento de referencia con error estacionario nulo. El integrador acumula el error entre la salida y la referencia, mientras que la realimentación permite ajustar la respuesta dinámica de manera precisa mediante la ubicación arbitraria de polos.

De esta forma se obtiene un controlador más robusto y con mejor comportamiento frente a perturbaciones, combinando la teoría de control en el espacio de estados con la implementación digital en PSoC.

II. OBJETIVOS

- Diseñar un controlador digital en lazo cerrado con realimentación de estados y acción integral.
- Implementar el control en la planta analógica utilizando el PSoC.
- Comparar el desempeño simulado y experimental, analizando la influencia del integrador y la robustez frente a perturbaciones.

III. CÁLCULOS Y METODOLOGÍA DE DISEÑO

En esta sección se describe, a nivel conceptual y paso a paso, el flujo de diseño implementado en el script de MATLAB. El código completo se incluye en el **Anexo**.

III-A. Modelo continuo y parámetros físicos

A partir de los valores medidos de resistencias y capacitores se construye el modelo continuo en espacio de estados. Se definen las constantes de tiempo y ganancias:

$$\tau_1 = R_2 C_1, \quad \tau_2 = R_4 C_2, \quad k_1 = -\frac{R_2}{R_1}, \quad k_2 = -\frac{R_4}{R_3}.$$

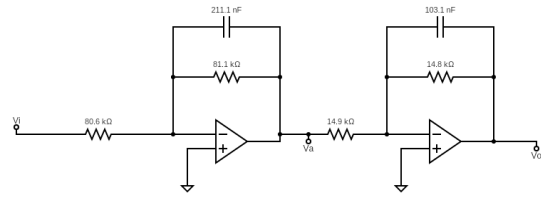


Figura 1. Esquema conceptual de la planta y medición de salida $y = Cx$.

Con ello, las matrices del sistema continuo quedan:

$$F = \begin{bmatrix} -\frac{1}{\tau_1} & 0 \\ \frac{k_2}{\tau_2} & -\frac{1}{\tau_2} \end{bmatrix}, \quad G = \begin{bmatrix} k_1 \\ \tau_1 \end{bmatrix}, \quad H = [0 \quad 1], \quad J = 0.$$

Se crea $\text{sysC} = \text{ss}(F, G, H, J)$ y su tf asociada para consulta rápida.

III-B. Selección de T_s y discretización ZOH

Para fijar un período de muestreo informado por la dinámica, se estima la frecuencia del polo más rápido del sistema continuo:

$$f_n \approx \frac{\max |\Re\{p_i(G(s))\}|}{\pi}, \quad T_n = \frac{1}{f_n},$$

y se toma

$$T_s = \frac{T_n}{4},$$

lo que da al menos ocho muestras sobre la constante de tiempo dominante. Con este T_s se discretiza por ZOH:

$$(A, B, C, D) = \text{ssdata}(\text{c2d}(\text{sysC}, T_s, 'zoh')).$$

III-C. Realimentación de estados (sin integrador)

Se elige un par de polos en \mathbb{C} para el lazo cerrado sin integrador

$$p_{\text{ctrl}} = \{0,8 \pm j 0,2\},$$

y se calcula la ganancia de estado K por asignación de polos:

$$K = \text{acker}(A, B, p_{\text{ctrl}}).$$

Para seguimiento de referencia con ganancia unitaria se usa un prefiltrado N_{bar} (vía rutina `refi`):

$$u_k = N_{\text{bar}} r_k - K \hat{x}_k.$$

III-D. Estimadores de estado: predictivo y actual

Se fijan polos rápidos para el estimador

$$p_{\text{obs}} = \{0,2 \pm j 0,2\},$$

y se calculan las ganancias:

$$L_{\text{pred}} = \text{acker}(A^T, C^T, p_{\text{obs}})^T, \quad L_{\text{act}} = \text{acker}(A^T, (CA)^T, p_{\text{obs}})$$

Predictivo: actualiza con la salida en k :

$$\hat{x}_{k+1} = A\hat{x}_k + Bu_k + L_{\text{pred}}(y_k - C\hat{x}_k).$$

Actual: usa la predicción intermedia $z_k = A\hat{x}_k + Bu_k$ y la salida en $k+1$:

$$\hat{x}_{k+1} = z_k + L_{\text{act}}(y_{k+1} - Cz_k).$$

III-E. Acción integral en espacio de estados (sistema aumentado)

Para eliminar error estacionario frente a referencias/perturbaciones constantes se introduce un estado integral v_k del error $e_k = r_k - y_k$:

$$v_{k+1} = v_k + e_k = v_k + (r_k - Cx_k).$$

Se define el sistema *aumentado* (Ogata 6.7; Franklin 8.5):

$$A_{\text{aug}} = \begin{bmatrix} A & B \\ 0 & I \end{bmatrix}, \quad B_{\text{aug}} = \begin{bmatrix} 0 \\ I \end{bmatrix}, \quad C_{\text{aug}} = [C \quad 0],$$

y se asignan polos $\mathcal{P}_i = \{p_{\text{ctrl}}, p_i\}$ con un polo real adicional p_i para el integrador (p. ej. 0,6). Se obtiene

$$K_{\text{aug}} = \text{acker}(A_{\text{aug}}, B_{\text{aug}}, \mathcal{P}_i) \Rightarrow K_{\text{aug}} = [K_2 \quad -K_1],$$

donde K_2 actúa sobre x y K_1 sobre v . En el código, para mantener la ley $u_k = K_1 v_k - K_2 \hat{x}_k$ coherente con el prefiltrado, se reexpresa K_{aug} mediante el sistema auxiliar

$$\underbrace{\begin{bmatrix} A - I & B \\ CA & CB \end{bmatrix}}_{\text{Aux}}$$

y la relación (Ogata 6.19):

$$K_2 K_1 = (K_{\text{aug}} + [0 \quad I]) \text{Aux}^{-1},$$

desde donde se partitiona K_2 (componentes sobre x) y K_1 (componente integral).

Los observadores para el caso con integrador reutilizan el mismo conjunto rápido:

$$L_{\text{pred},i}, \quad L_{\text{act},i} \quad \text{con} \quad p_{\text{obs},i} = \{0,2 \pm j 0,2\}.$$

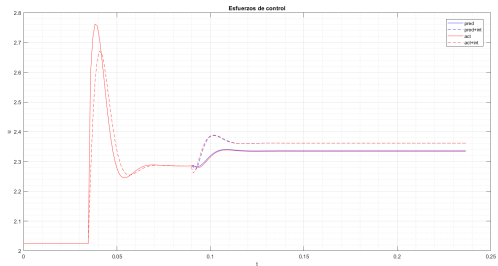


Figura 2. Lazo cerrado con estado integral v y realimentación $K = [K_2 - K_1]$. Se muestran los esfuerzos de control en los distintos esquemas.

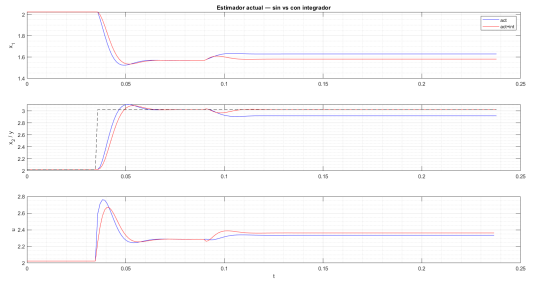


Figura 3. Respuesta al escalón con estimador **actual**. Con ruido en la planta, el integrador corrige la deriva en la salida, a diferencia del caso sin integral.

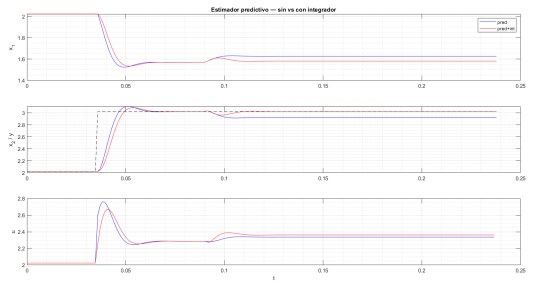


Figura 4. Respuesta al escalón con estimador **predictivo**. Se observa el mismo efecto: el integrador elimina el error estacionario frente a perturbaciones.

III-F. Escenarios de simulación

Se simulan cuatro configuraciones: (1) estimador **predictivo** sin integrador; (2) estimador **actual** sin integrador; (3) **predictivo + integrador**; (4) **actual + integrador**. Se usa un escalón r de amplitud unitaria (con retardo inicial para ver el transitorio) y un ruido de medición w activado en la segunda mitad de la simulación para contrastar sensibilidad. Se acumula un *offset* de visualización ($\text{off} = 2,024$) para superponer las curvas en escala física.

■ Leyes de control:

$$\text{sin int: } u_k = N_{\text{bar}} r_k - K \hat{x}_k,$$

$$\text{con int: } u_k = K_1 v_{k+1} - K_2 \hat{x}_k, \quad v_{k+1} = v_k + (r_k - y_k).$$

■ **Observadores:** actualización *predictiva* con y_k y *actual* con y_{k+1} vía z_k .

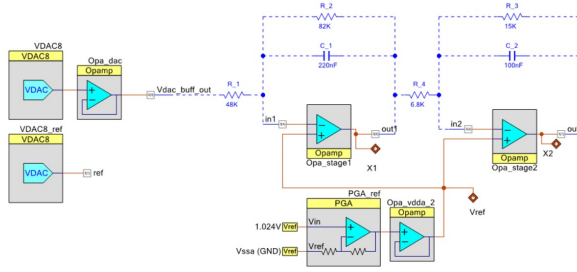


Figura 7. Diagrama del circuito de la planta utilizado en el montaje experimental.

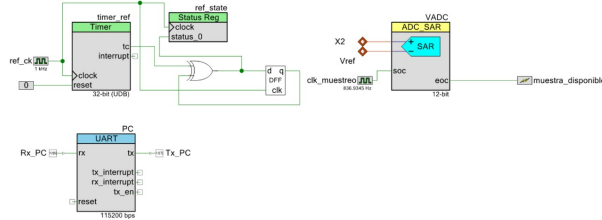


Figura 8. Implementación del controlador **predictivo** con integrador en PSoC (diagrama de control).

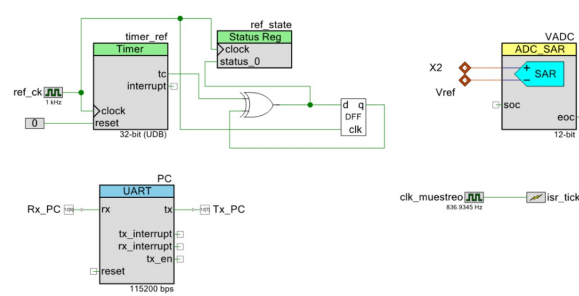


Figura 9. Implementación del controlador **actual** con integrador en PSoC (diagrama de control).

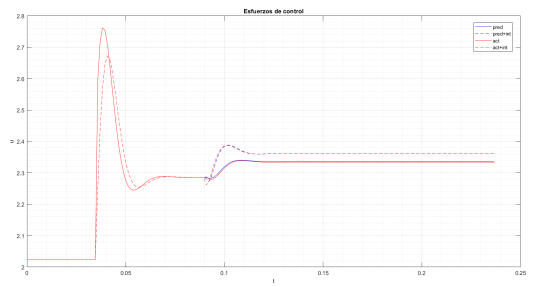


Figura 5. Esfuerzos de control para las cuatro configuraciones (sin/con integrador; estimador actual/predictor).

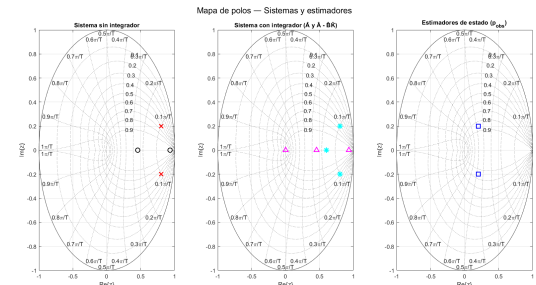


Figura 6. Polos en el plano Z: incluye (i) planta sin integrador antes/después, (ii) planta con integrador antes/después y (iii) estimador de estados (actual y predictor).

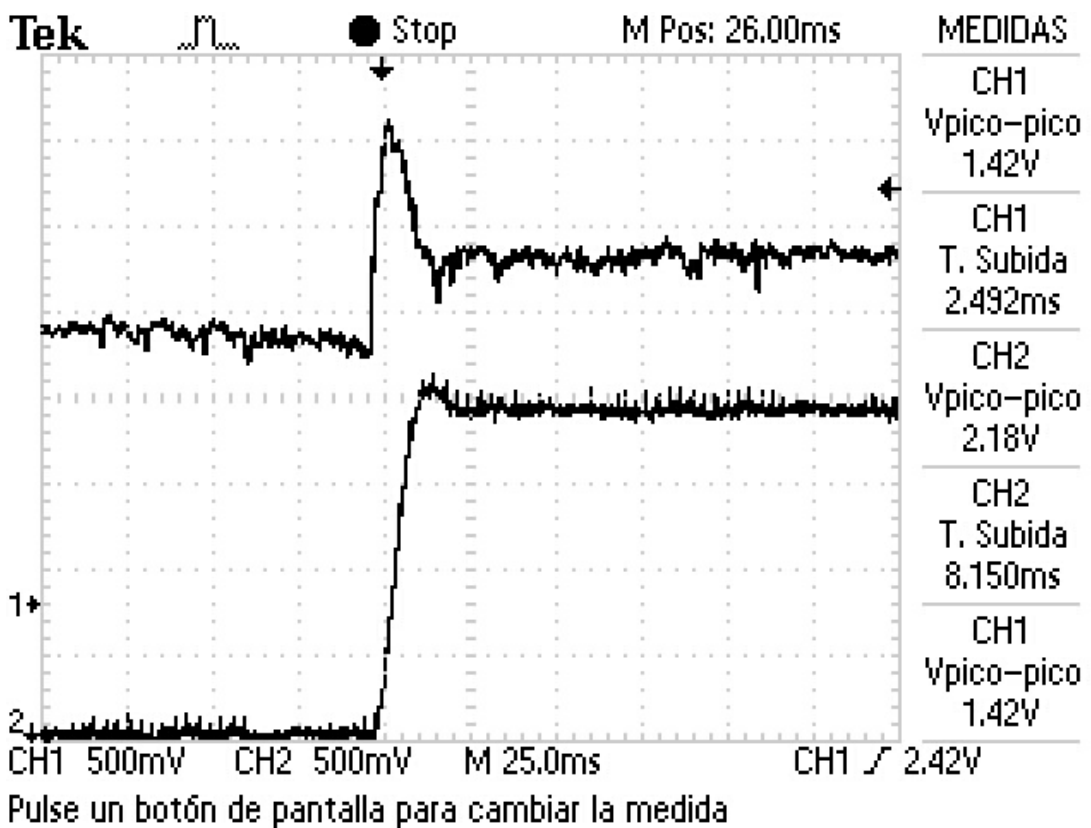
El script completo de MATLAB utilizado para obtener K, N_{bar}, L, K₁, K₂ y para generar las simulaciones y mapas de polos se incluye íntegramente en el Anexo.

IV. IMPLEMENTACIÓN

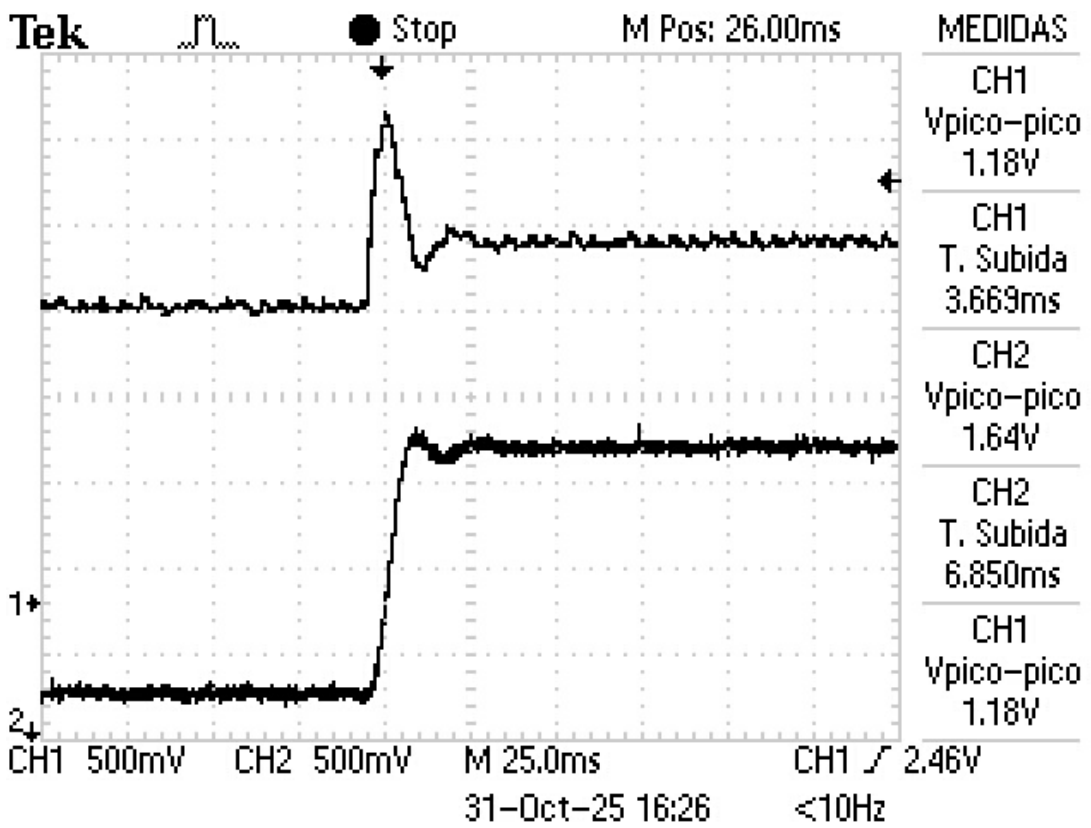
En este laboratorio se reutilizaron los proyectos del Lab 6 (*predictivo* y *actual*) manteniendo la misma estructura de hardware en el PSoC. La única modificación fue la incorporación del integrador en el código C, lo que permitió que ambos esquemas trabajaran ahora en lazo cerrado con acción integral.

$$v_{k+1} = v_k + (r_k - y_k), \quad u_k = K_1 v_{k+1} - K_2 \hat{x}_k.$$

Los bloques físicos (planta, DAC, ADC, UART e ISR de adquisición) se mantuvieron idénticos al laboratorio anterior, por lo que la adaptación fue directa y sin cambios en el diagrama del sistema.

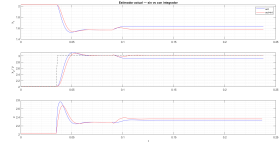


(a) Respuesta experimental con estimador **predictivo** (con integrador).

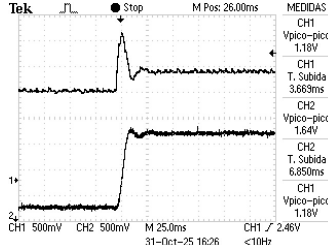


(b) Respuesta experimental con estimador **actual** (con integrador).

Figura 10. Capturas del osciloscopio: ambos esquemas con acción integral muestran eliminación del error estacionario y seguimiento.

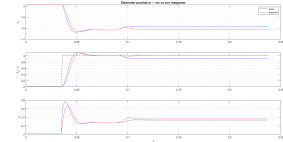


(a) Estimador **actual** (sim.): *sin* vs *con* integrador.

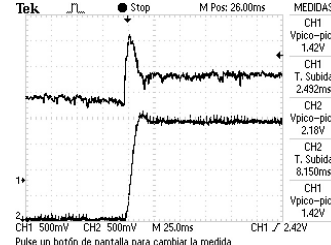


(b) Estimador **actual** (exp.): *con* integrador.

Figura 12. Comparación del estimador actual: simulación *sin/con* integrador vs resultado experimental *con* integrador.



(a) Estimador **predictivo** (sim.): *sin* vs *con* integrador.



(b) Estimador **predictivo** (exp.): *con* integrador.

Figura 11. Comparación del estimador predictivo: simulación *sin/con* integrador vs resultado experimental *con* integrador.

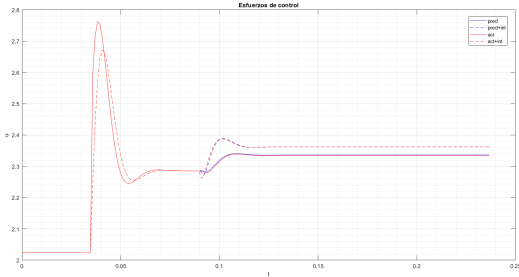


Figura 13. Esfuerzos de control para las cuatro configuraciones: *sin* y *con* integrador, estimador *predictivo* y *actual* (simulación).

Cuadro I

COMPARACIÓN EXPERIMENTAL Y SIMULADA: *sin integrador / con integrador*.

Caso	t_s [ms] (<i>sin/con</i>)	OS [%] (<i>sin/con</i>)
Predictor (Sim)	7.00/8.00	4.6/4.0
Actual (Sim)	7.00/8.00	4.6/4.0
Predictor (Exp)	10.0/4.0	6.520/8.150
Actual (Exp)	5.940/6.850	10.0/5.0

V. RESULTADOS

En las figuras se observa que la incorporación de la acción integral elimina la deriva frente a perturbaciones y garantiza error estacionario nulo, manteniendo una dinámica global comparable a la simulada. Tanto el observador *predictivo* como el *actual* replican la tendencia teórica, aunque el sobreimpulso real resulta no se asemeja a lo calculado para todos los casos. Las discrepancias pueden atribuirse a tolerancias de componentes pasivos, desajustes de ganancia y cuantización DAC/ADC, además de pequeños desvíos de polos respecto a los ubicados por diseño.

La tabla I resume los valores simulados y experimentales para ambos estimadores, contrastando *sin* y *con* integrador. Se confirma que el integrador elimina el error estacionario y mejora la robustez, a costa de un leve aumento del esfuerzo de control.

APÉNDICE

En este anexo se incluyen los archivos utilizados para el diseño y la implementación: (i) la hoja de cálculos y simulación en MATLAB, y (ii) los dos main.c del PSoC para los esquemas *predictivo* y *actual*. El código completo se referencia a continuación.

A. Hoja de cálculos y simulaciones (MATLAB)

```

1 %% ===== DISEÑO CON POLOS OBJETIVO ÚNICOS =====
2 clear all; clc; close all;
3 addpath('..\');
4
5 %% --- Planta continua (tu modelo) ---
6 C2 = 103.07e-9; C1 = 211.1e-9;
7 R3 = 6.74e3; R4 = 14.760e3;
8 R1 = 46.4e3; R2 = 81.09e3;
9
10 tau1 = R2*C1; k1 = -R2/R1;
11 tau2 = R4*C2; k2 = -R4/R3;
12
13 F = [ -1/tau1, 0;
14       k2/tau2, -1/tau2 ];
15 G = [ k1/tau1; 0 ];
16 H = [0 1];
17 J = 0;
18
19 sysC = ss(F,G,H,J);
20 Gc = tf(sysC);
21
22 % Ts vía polo más rápido
23 fn = max(abs(zpk(Gc).P{1}))/pi;
24 Tn = 1/fn;
25 Ts = Tn/4;
26
27 sysD = c2d(sysC, Ts, 'zoh');
28 [A,B,C,D] = ssdata(sysD);
29
30 %% --- Chequeo
31 n = size(A,1);
32
33 %% --- Polos objetivo en z ---
34 p_ctrl = [0.8 + 1j*0.2; 0.8 - 1j*0.2]; % CONTROL
35 K = acker(A,B,p_ctrl);
36
37 % Prefiltro para el caso sin integrador
38 [~,~,Nbar] = refi(A,B,C,K);
39
40 %% --- Observadores (mismo set rápido) ---
41 p_obs = [0.2+1j*0.2 0.2-1j*0.2];
42 L_pred = acker(A', C', p_obs).' ; % estimador de PREDICCIÓN
43 L_actual = acker(A', (C*A)', p_obs).' ; % estimador ACTUAL
44
45 %% --- Integrador Ogata 6.19 con tus fórmulas ---
46 m = 1;
47 Ahat = [A B; zeros(m,n+m)];
48 Bhat = [zeros(n,m); eye(m)];
49 Chat = [C zeros(1,m)];
50
51 polos_i = [p_ctrl.' 0.6]; % mismos 2 + uno real
52 Khat = acker(Ahat,Bhat,polos_i);
53
54 Aux = [A-eye(size(A)) B;
55          C*A          C*B];
56 K2K1 = (Khat + [zeros(1,n) eye(m)]) / Aux;
57 K2 = K2K1(1,1:n); % sobre x
58 K1 = K2K1(1,n+1:end); % sobre integrador
59

```

```

60 % observadores para el caso con integrador
61 p_obs_int = [0.2+1j*0.2 0.2-1j*0.2];
62 L_pred_i = acker(A', C', p_obs_int).';
63 L_actual_i = acker(A', (C*A)', p_obs_int).';
64
65 % ===== SIMULACIÓN =====
66 N = 200;
67 t = 0:Ts:(N-1)*Ts;
68 r = ones(1,N); % escalón 1
69 r(1:30) = 0; % arranca en 0
70
71 % ruido en medición
72 w = [zeros(1,75),0.01*ones(1,125)]; % ajustá el nivel
73
74 % ----- 1) PREDICTIVO SIN integrador -----
75 X_p = zeros(n,N);
76 Xh_p = zeros(n,N);
77 U_p = zeros(1,N);
78
79 % ----- 2) ACTUAL SIN integrador -----
80 X_a = zeros(n,N);
81 Xh_a = zeros(n,N);
82 U_a = zeros(1,N);
83
84 % ----- 3) PREDICTIVO CON integrador -----
85 Xi_p = zeros(n,N);
86 Xhi_p = zeros(n,N);
87 Vi_p = zeros(1,N);
88 Ui_p = zeros(1,N);
89
90 % ----- 4) ACTUAL CON integrador -----
91 Xi_a = zeros(n,N);
92 Xhi_a = zeros(n,N);
93 Vi_a = zeros(1,N);
94 Ui_a = zeros(1,N);
95
96 for k = 1:N-1
97 rk = r(k);
98
99 % ===== 1) PREDICTIVO (sin int) =====
100 y_p = C*X_p(:,k);
101 u_p = Nbar*rk - K*Xh_p(:,k);
102 X_p(:,k+1) = A*X_p(:,k) + B*u_p+ w(k);
103 Xh_p(:,k+1) = A*Xh_p(:,k) + B*u_p + L_pred*(y_p - C*Xh_p(:,k));
104 U_p(k) = u_p;
105
106 % ===== 2) ACTUAL (sin int) =====
107 u_a = Nbar*rk - K*Xh_a(:,k);
108 X_a(:,k+1) = A*X_a(:,k) + B*u_a+ w(k);
109 y_a = C*X_a(:,k+1); % medición en k+1
110 z_a = A*Xh_a(:,k) + B*u_a;
111 Xh_a(:,k+1) = z_a + L_actual*(y_a - C*z_a);
112 U_a(k) = u_a;
113
114 % ===== 3) PREDICTIVO + integrador =====
115 yi_p = C*Xi_p(:,k);
116 Vi_p(k+1) = Vi_p(k) + (rk - yi_p); % integrador real
117 ui_p = K1*Vi_p(k+1) - K2*Xhi_p(:,k);
118 Xi_p(:,k+1) = A*Xi_p(:,k) + B*ui_p+ w(k);
119 Xhi_p(:,k+1) = A*Xhi_p(:,k) + B*ui_p + L_pred_i*(yi_p - C*Xhi_p(:,k));
120 Ui_p(k) = ui_p;
121
122 % ===== 4) ACTUAL + integrador =====
123 yi_a = C*Xi_a(:,k);
124 Vi_a(k+1) = Vi_a(k) + (rk - yi_a);
125 ui_a = K1*Vi_a(k+1) - K2*Xhi_a(:,k);

```

```

126  Xi_a(:,k+1) = A*Xi_a(:,k) + B*ui_a + w(k);
127  yia_next = C*Xi_a(:,k+1) + w(k); % misma muestra de ruido para comparar
128  z_ai = A*Xhi_a(:,k) + B*ui_a;
129  Xhi_a(:,k+1) = z_ai + L_actual_i*(yia_next - C*z_ai);
130  Ui_a(k) = ui_a;
131 end
132
133 % % ===== OFFSET AC =====
134 off = 2.024;
135 X_p = X_p + off; Xh_p = Xh_p + off; U_p = U_p + off;
136 X_a = X_a + off; Xh_a = Xh_a + off; U_a = U_a + off;
137 Xi_p = Xi_p + off; Xhi_p = Xhi_p + off; Ui_p = Ui_p + off;
138 Xi_a = Xi_a + off; Xhi_a = Xhi_a + off; Ui_a = Ui_a + off;
139 r_plot = r + off;
140
141 % % ===== GRAFICAS =====
142
143 % 1) PREDICTIVO: sin vs con integrador
144 figure;
145 subplot(3,1,1);
146 plot(t, X_p(1,:), 'b', t, Xi_p(1,:), 'r'); grid on;
147 ylabel('x_1');
148 legend('pred','pred+int');
149 title('Estimador predictivo -- sin vs con integrador'); grid minor;
150
151 subplot(3,1,2);
152 plot(t, X_p(2,:), 'b', t, Xi_p(2,:), 'r', t, r_plot, 'k--'); grid on;
153 ylabel('x_2 / y'); grid minor;
154
155 subplot(3,1,3);
156 plot(t(1:end-1), U_p(1:end-1), 'b', t(1:end-1), Ui_p(1:end-1), 'r'); grid on;
157 ylabel('u'); xlabel('t'); grid minor;
158
159 % 2) ACTUAL: sin vs con integrador
160 figure;
161 subplot(3,1,1);
162 plot(t, X_a(1,:), 'b', t, Xi_a(1,:), 'r'); grid on;
163 ylabel('x_1'); grid minor;
164 legend('act','act+int');
165 title('Estimador actual -- sin vs con integrador');
166
167 subplot(3,1,2);
168 plot(t, X_a(2,:), 'b', t, Xi_a(2,:), 'r', t, r_plot, 'k--'); grid on; grid minor;
169 ylabel('x_2 / y');
170
171 subplot(3,1,3);
172 plot(t(1:end-1), U_a(1:end-1), 'b', t(1:end-1), Ui_a(1:end-1), 'r'); grid on; grid minor;
173 ylabel('u'); xlabel('t');
174
175 % 3) esfuerzos todos
176 figure;
177 plot(t(1:end-1), U_p(1:end-1), 'b', ...
178     t(1:end-1), Ui_p(1:end-1), '--b', ...
179     t(1:end-1), U_a(1:end-1), 'r', ...
180     t(1:end-1), Ui_a(1:end-1), '--r'); grid on;
181 legend('pred','pred+int','act','act+int','Location','Best');
182 title('Esfuerzos de control');
183 xlabel('t'); ylabel('u'); grid minor;
184
185 % % ===== MAPA DE POLOS RESUMIDO (3 GRAFICOS GRANDES) =====
186 figure('Position',[100 100 1000 900]); % figura grande
187
188 % === 1) Sistema sin integrador ===
189 subplot(1,3,1);
190 zgrid; hold on;
191 %axis equal; axis([-1.2 1.2 -1.2 1.2]);
192

```

```

193 p_planta = eig(A);
194 p_cl     = eig(A - B*K);
195
196 plot(real(p_planta), imag(p_planta), 'ko', 'MarkerSize',8, 'LineWidth',1.4);
197 plot(real(p_cl),      imag(p_cl),      'rx', 'MarkerSize',10, 'LineWidth',1.6);
198
199 title('Sistema sin integrador');
200 %legend({'Planta A','Lazo cerrado A - BK'},'Location','best');
201 xlabel('Re\{z\}'); ylabel('Im\{z\}');
202 grid on; box on;
203
204 % === 2) Sistema con integrador ===
205 subplot(1,3,2);
206 zgrid; hold on;
207 %axis equal; axis([-1.2 1.2 -1.2 1.2]);
208
209 p_aug    = eig(Ahat);
210 p_aug_cl = eig(Ahat - Bhat*Khat);
211
212 plot(real(p_aug),   imag(p_aug),   'm^', 'MarkerSize',8, 'LineWidth',1.4);
213 plot(real(p_aug_cl), imag(p_aug_cl), 'c*', 'MarkerSize',10, 'LineWidth',1.6);
214
215 title('Sistema con integrador (Ahat y Ahat - BhatKhat)');
216 %legend({'Aumentado Ahat','Aum. cerrado Ahat - BhatKhat'},'Location','best');
217 xlabel('Re\{z\}'); ylabel('Im\{z\}');
218 grid on; box on;
219
220 % === 3) Estimadores (uno solo, mismo polos para ambos) ===
221 subplot(1,3,3);
222 zgrid; hold on;
223 %axis equal; axis([-1.2 1.2 -1.2 1.2]);
224
225 p_obs = eig(A - L_pred*C); % mismo para predictivo y actual
226
227 plot(real(p_obs), imag(p_obs), 'bs', 'MarkerSize',9, 'LineWidth',1.5);
228
229 title('Estimadores de estado (p_{obs})');
230 %legend({'A - LxC'},'Location','best');
231 xlabel('Re\{z\}'); ylabel('Im\{z\}');
232 grid on; box on;
233
234 sgttitle('Mapa de polos -- Sistemas y estimadores');

```

Listing 1. HojaDeCalculos.m: cálculo de parámetros, diseño (K , N_{bar} , L , K_1 , K_2) y generación de gráficos (respuestas y mapas de polos).

B. PSoC — Estimador predictivo (C)

```

1 #include "project.h"
2 #include "config.h"
3
4 /* ----- Helpers ----- */
5 static inline uint8_t volt_to_dac(float v)
6 {
7     if (v < SAT_MIN) v = SAT_MIN;
8     if (v > SAT_MAX) v = SAT_MAX;
9     float n = v / SAT_MAX; if (n < 0) n = 0; if (n > 1) n = 1;
10    return (uint8_t)(255.0f * n);
11}
12 static inline float sat_u_phys(float u)
13 {
14    if (u > SAT_MAX) u = SAT_MAX;
15    if (u < SAT_MIN) u = SAT_MIN;
16    return u;
17}
18
19 /* ----- Modelo discreto ----- */
20 float a11 = 0.932581f, a12 = 0.000000f;

```

```

21 float a21 = -1.145618f, a22 = 0.455938f;
22 float b1 = -0.117824f, b2 = 0.080093f;
23 float c1 = 0.0f, c2 = 1.0f;
24
25 /* ----- Ganancias de control CON integrador -----
26 * u[k] = k1 * v[k] - (k21 * xhat1 + k22 * xhat2)
27 * v[k] = v[k-1] + (r[k] - y[k])
28 */
29 float k21 = -1.0207f; /* K2 sobre xhat1 */
30 float k22 = 0.6242f; /* K2 sobre xhat2 */
31 float k1 = 0.2280f; /* K1 sobre el integrador */
32
33 /* ----- Observador (predictivo) ----- */
34 float l1 = -0.503374f, l2 = 0.988519f;
35
36 /* ----- Estado ----- */
37 static volatile uint8_t tick_flag = 0;
38 static volatile float ref_ac = 0.0f;
39 static float xhat1 = 0.0f, xhat2 = 0.0f;
40 static float vint = 0.0f; /* integrador v[k] */
41
42 static const float ref_max = 0.5f * A_AMPL;
43 static const float ref_min = -0.5f * A_AMPL;
44
45 /* ----- ISR de muestreo ----- */
46 CY_ISR(adquirirMuestra)
47 {
48     /* referencia AC según el switch */
49     ref_ac = ref_state_Read() ? ref_max : ref_min;
50
51     /* DAC auxiliar para scope */
52     VDAC8_ref_SetValue(volt_to_dac(ref_ac + VDDA2));
53
54     tick_flag = 1u;
55 }
56
57 /* ----- MAIN ----- */
58 int main(void)
59 {
60     CyGlobalIntEnable;
61
62     /* Front-end analógico */
63     Opa_dac_Start();
64     Opa_stage1_Start();
65     Opa_vdda_2_Start();
66     Opa_stage2_Start();
67
68     VDAC8_Start();
69     VDAC8_ref_Start();
70
71     VADC_Start(); // Firmware trigger (NO free-run)
72
73     muestra_disponible_StartEx(adquirirMuestra);
74     timer_ref_Start(); // genera Ts
75
76     for (;;)
77     {
78         if (tick_flag)
79         {
80             tick_flag = 0u;
81
82             /* 1) Medir salida física y[k] (ya en AC) */
83             float y_ac = VADC_CountsTo_Volts(VADC_GetResult16());
84
85             /* 2) Integrador: v[k] = v[k-1] + (r[k] - y[k]) */
86             /* si querés anti-windup, lo podés saturar acá */
87             float err_ry = ref_ac - y_ac;

```

```

88     vint += err_ry;
89
90
91
92
93     /* 3) Control con integrador:
94     * u_ac = k1 * v - (k21 * xhat1 + k22 * xhat2)
95     */
96     float u_ac = k1 * vint - (k21 * xhat1 + k22 * xhat2);
97
98     /* 4) Observador de PREDICCIÓN:
99     * xhat+ = A*xhat + B*u + L*(y - C*xhat)
100    */
101    float y_hat = c1 * xhat1 + c2 * xhat2;
102    float e_y = y_ac - y_hat;
103
104    float x1n = a11 * xhat1 + a12 * xhat2 + b1 * u_ac + l1 * e_y;
105    float x2n = a21 * xhat1 + a22 * xhat2 + b2 * u_ac + l2 * e_y;
106
107    xhat1 = x1n;
108    xhat2 = x2n;
109
110    /* 5) DAC físico (con saturación y offset) */
111    float u_phys = sat_u_phys(u_ac + VDDA2);
112    VDAC8_SetValue(volt_to_dac(u_phys));
113}
114}
115}

```

C. PSoC — Estimador actual (C)

```

1 #include "project.h"
2 #include "config.h" // SAT_MIN, SAT_MAX, VDDA2, A_AMPL
3
4 /* ====== Helpers ===== */
5 static inline uint8_t volt_to_dac(float v)
6 {
7     if (v < SAT_MIN) v = SAT_MIN;
8     if (v > SAT_MAX) v = SAT_MAX;
9     float n = v / SAT_MAX; if (n < 0) n = 0; if (n > 1) n = 1;
10    return (uint8_t)(255.0f * n);
11}
12 static inline float sat_u_phys(float u_phys)
13 {
14     if (u_phys > SAT_MAX) u_phys = SAT_MAX;
15     if (u_phys < SAT_MIN) u_phys = SAT_MIN;
16     return u_phys;
17}
18
19 /* ====== Modelo discreto ===== */
20 static const float a11 = 0.932581f, a12 = 0.000000f;
21 static const float a21 = -1.145618f, a22 = 0.455938f;
22 static const float b1 = -0.117824f, b2 = 0.080093f;
23 /* C = [0 1] */
24
25 /* ====== Ganancias =====
26    u[k] = k0 * v[k] - (k1 * xhat1 + k2 * xhat2)
27    v[k] = v[k-1] + (ref[k] - y[k])
28    (esto es tu diseño con integrador)
29 */
30 static const float k1 = -1.0207f; // sobre xhat1
31 static const float k2 = 0.6242f; // sobre xhat2
32 static const float k0 = 0.228f; // sobre el integrador
33
34 /* ====== Observador (actual) =====
35    xhat = z + L*(y - C*z)

```

```

36 */
37 static const float l1 = -0.503374f;
38 static const float l2 = 0.988519f;
39
40 /* ===== Estado global ===== */
41 static volatile uint8_t tick_flag = 0;
42 static volatile float ref_ac = 0.0f;
43 static float xhat1 = 0.0f, xhat2 = 0.0f;
44 static float v_int = 0.0f; // <-- integrador
45
46 static const float ref_max = 0.5f * A_AMPL;
47 static const float ref_min = -0.5f * A_AMPL;
48
49 /* ===== ISR ===== */
50 CY_ISR(adquirirMuestra)
51 {
52     ref_ac = ref_state_Read() ? ref_max : ref_min;
53     VDAC8_ref_SetValue(volt_to_dac(ref_ac + VDDA2));
54     tick_flag = 1u;
55 }
56
57 /* ===== main ===== */
58 int main(void)
59 {
60     CyGlobalIntEnable;
61
62     /* Analógico */
63     Opa_dac_Start();
64     Opa_stage1_Start();
65     Opa_vdda_2_Start();
66     Opa_stage2_Start();
67
68     VDAC8_Start();
69     VDAC8_ref_Start();
70
71     VADC_Start(); // firmware trigger
72
73     isr_tick_StartEx(adquirirMuestra);
74     timer_ref_Start();
75
76     for(;;)
77     {
78         if (tick_flag)
79         {
80             tick_flag = 0u;
81
82             /* ===== (a) Medir y[k] para el integrador ===== */
83             VADC_StartConvert();
84             while (VADC_IsEndConversion(VADC_RETURN_STATUS) == 0) { }
85             float y_k = VADC_CountsTo_Volts(VADC_GetResult16()); // ya AC
86
87             /* ===== (b) Actualizar integrador: v[k] = v[k-1] + (r - y) ===== */
88             float err_ry = ref_ac - y_k;
89             v_int += err_ry;
90             /* opcional anti-windup
91             if (v_int > 5.0f) v_int = 5.0f;
92             if (v_int < -5.0f) v_int = -5.0f;
93             */
94
95             /* ===== (c) Control con integrador =====
96             u_ac = k0 * v_int - (k1 * xhat1 + k2 * xhat2)
97             */
98             float u_ac = k0 * v_int - (k1 * xhat1 + k2 * xhat2);
99
100            /* ===== (d) Enviar al DAC (con offset) ===== */
101            float u_phys = sat_u_phys(u_ac + VDDA2);
102            VDAC8_SetValue(volt_to_dac(u_phys));

```

```

103
104    /* esfuerzo realmente aplicado en AC */
105    float u_ac_apl = u_phys - VDDA2;
106
107    /* ===== (e) Predicción:  $z = A \cdot xhat + B \cdot u$  ===== */
108    float z1 = a11 * xhat1 + a12 * xhat2 + b1 * u_ac_apl;
109    float z2 = a21 * xhat1 + a22 * xhat2 + b2 * u_ac_apl;
110
111    /* ===== (f) Medición  $y[k+1]$  para la corrección ACTUAL ===== */
112    VADC_StartConvert();
113    while (VADC_IsEndConversion(VADC_RETURN_STATUS) == 0) { }
114    float y_k1 = VADC_CountsTo_Volts(VADC_GetResult16());
115
116    /* ===== (g) Corrección:  $xhat = z + L \cdot (y[k+1] - C \cdot z)$  ===== */
117    float innov = y_k1 - z2; // C = [0 1]
118    xhat1 = z1 + l1 * innov;
119    xhat2 = z2 + l2 * innov;
120
121    }
122}

```